

2) Отсутствие значительного избыточного тока указывает на то, что в реализованных структурах отсутствуют сверхпроводящие закоротки.

Мы надеемся в дальнейшем уточнить приведенные в конце работы выводы.

## Список литературы

- [1] Гудков А.Л., Лихарев К.К., Махов В.И. //  
Письма в ЖТФ. 1985. Т. 11. № 23. С. 1423-1428.  
[2] Бароне А., Патерно Дж. Эффект Джозефсона.  
М.: Мир, 1984. 639 с.

Поступило в Редакцию  
28 декабря 1990 г.

Письма в ЖТФ, том 17, вып. 6

26 марта 1991 г.

05.2; 07

© 1991

ОСОБЕННОСТИ ОПТИЧЕСКОЙ ОРИЕНТАЦИИ ЭЛЕКТРОНОВ  
В СПЛАВАХ  $Hg_{1-x}Mn_xTe$  И  $Hg_{1-x}Cd_xTe$

Е.И. Георгиев, В.И. Иванов - Омский,  
В.М. Погорлецкий, В.А. Смирнов,  
А.Н. Титков

С целью изучения влияния обменного взаимодействия электронов с ионами марганца на релаксацию электронных спинов в настоящей работе изучалась оптическая ориентация в сплаве  $Hg_{1-x}Mn_xTe$  ( $x=0.23$ ,  $N_A - N_D \sim 3 \cdot 10^{15}$  см $^{-3}$  при 77 К) и близких по параметрам энергетического спектра сплавах  $Hg_{1-x}Cd_xTe$  ( $x=0.69$ ,  $N_A - N_D \sim 1.1 \cdot 10^{16}$  см $^{-3}$ , при 77 К); ( $x=0.61$ ,  $N_A - N_D \sim 10^{14}$  см $^{-3}$  при 77 К) при температуре 4.2 К. Измерялась степень циркулярной поляризации [1] фотолюминесценции, возбуждаемой циркулярно поляризованным излучением лазеров, на длинах волн 1.52 мкм и 1.15 мкм. Энергия кванта возбуждения выбиралась таким образом, чтобы его превышение над величиной запрещенной зоны было минимальным. Плотность возбуждения достигала 10 Вт/см $^2$ .

На рис. 1 представлены спектры фотолюминесценции для исследованных образцов при 4,2 К в отсутствии магнитного поля. Ранее было показано, что природа наблюдаемых полос фотолюминесценции соответствует излучательной рекомбинации свободных электронов с дырками, находящимися на акцепторах или в валентной

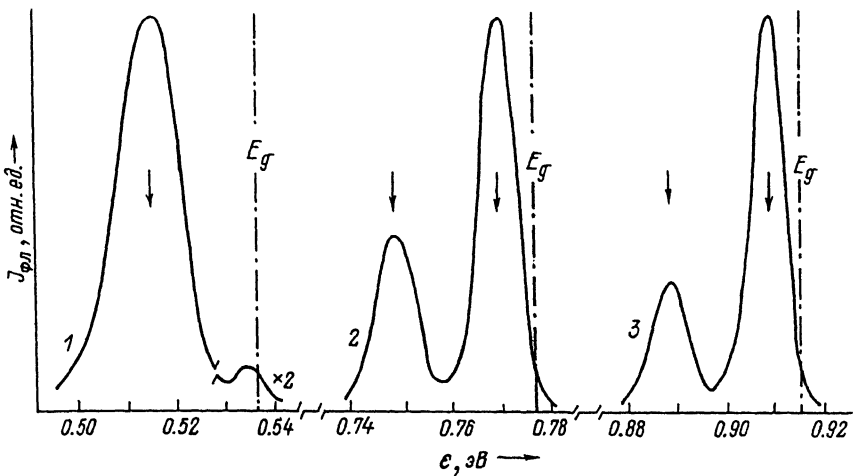


Рис. 1. Спектры фотолюминесценции сплавов  $Hg_{0.31} Cd_{0.69} Te$  (кривая 3),  $Hg_{0.39} Cd_{0.61} Te$  (кривая 2) и  $Hg_{0.77} Mn_{0.23} Te$  (кривая 1) при температуре 4.2 К.

зоне [2–4]. Значение ширины запрещенной зоны для каждого сплава определялась из спектров фотопроводимости, а состав дополнительно контролировался рентгеноспектральным анализом.

Величина наблюдаемой циркулярной поляризации фотолюминесценции представлена в графе 4 таблицы. Согласно теории [5], отношение времен излучательной рекомбинации ( $\tau$ ) и спиновой релаксации ( $\tau_s$ ) определяется выражением:

$$\frac{\tau}{\tau_s} = \frac{\rho_0 - \rho_z(0)}{\rho_z(0)}, \quad (1)$$

где  $\rho_0$  – максимально возможная степень поляризации при отсутствии спиновой релаксации, задаваемая правилами отбора, для межзонного перехода  $\Gamma_8 \rightarrow \Gamma_6$   $\rho_0 \sim 0.25$ ,  $\rho_z(0)$  – степень поляризации фотолюминесценции в отсутствии поперечного магнитного поля. Используя выражение (1) для всех исследованных в данной работе сплавов, оценили отношение ( $\tau / \tau_s$ ), величина которого представлена в таблице (графа 5).

На рис. 2 представлена зависимость степени поляризации фотолюминесценции сплавов  $Hg_{0.31} Cd_{0.69} Te$  (кривая 1),  $Hg_{0.39} Cd_{0.61} Te$  (кривая 2) и  $Hg_{0.77} Mn_{0.23} Te$  (кривая 3) от индукции поперечного

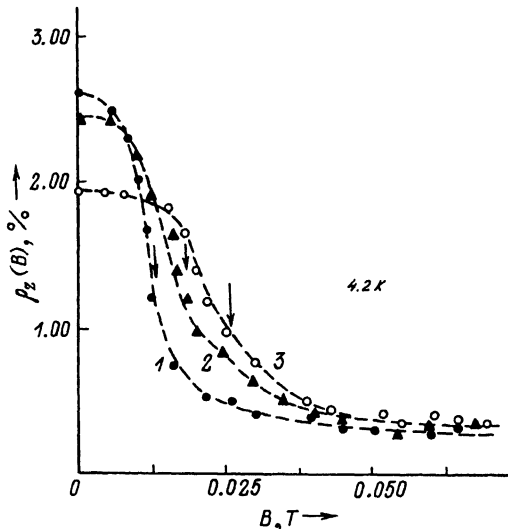


Рис. 2. Зависимость степени циркулярной поляризации фотолюминесценции от индукции поперечного магнитного поля  $Hg_{0.31}Cd_{0.69}Te$  (кривая 1),  $Hg_{0.39}Cd_{0.61}Te$  (кривая 2) и  $Hg_{0.33}Mn_{0.23}Te$  (кривая 3) при температуре 4.2 К.

магнитного поля при температуре 4.2 К. Из представленных на рис. 2 результатов видно, что с увеличением магнитного поля для всех трех сплавов наблюдается деполяризация фотолюминесценции, так называемый эффект Ханле. По кривым деполяризации определены полуширины контура Ханле ( $B_{1/2}$ ), которые представлены в графе 6 таблицы. Полуширина ( $B_{1/2}$ ) контура Ханле, согласно теории [5], позволяет определить время спиновой релаксации, используя выражение

$$\tau_s = \frac{\rho_0}{\rho_0 - \rho_z(0)} \cdot \frac{\kappa}{g_e \mu_B B_{1/2}}, \quad (2)$$

где  $g_e$  - фактор электрона;  $\mu_B$  - магнетон Бора;  $B_{1/2}$  - полуширина контура Ханле.

В выражении (2)  $g$  - фактор определен, исходя из зависимости

$$g_e = 2 \left[ 1 - \frac{E_p}{3} \frac{4}{\epsilon_g(\epsilon_g + 4)} \right], \quad (3)$$

где  $\epsilon_g$  - ширина запрещенной зоны,  $\Delta$  - энергия спин-орбитального взаимодействия,  $E_p$  - энергия взаимодействия с вышележащими зонами.

В случае полумагнитного сплава  $g$  - фактор дополнительно определяется выражением учитывающим намагниченность марганцевой подсистемы [6]:

№	Образец, состав	Тип проводи- мости	Степень поля- ризации в от- сутствии попе- речного магнит- ного поля, $\rho_z(0)$ , %	$\left(\frac{\tau}{\tau_s}\right)$ экс	$B_{1/2}$ , Т	$\tau_s$ , с
1	$Hg_{0.31}Cd_{0.69}Te$	p	2.6	8.6	0.0120	$2.6 \cdot 10^{-10}$
2	$Hg_{0.39}Co_{0.61}Te$	p	2.4	9.4	0.0180	$1 \cdot 10^{-10}$
3	$Hg_{0.77}Mn_{0.23}Te$	p	1.92	12.1	0.0255	$7.8 \cdot 10^{-12}$

$$g_e^* = g_e - \frac{N_0 \alpha X \langle S_z \rangle}{\mu_B \cdot B}, \quad (4)$$

где  $g_e^*$  - фактор затравочного спектра, вычисляется по формуле 3,  $N_0 \alpha$  - обмениный интеграл взаимодействия для электронов,  $X$  - содержание марганца в растворе,  $\langle S_z \rangle$  - среднее значение спина ионов марганца,  $B$  - магнитное поле.

Используя (2-4), вычислили  $\tau_s$ . Данные представлены в таблице. Из представленных в таблице данных видно, что обменное взаимодействие в полумагнитных растворах  $Hg_{1-x}Mn_xTe$ , вызванное присутствием ионов марганца, уменьшает время спиновой релаксации, однако, не столь значительно, чтобы сделать оптическую ориентацию электронов не наблюдаемой.

### Список литературы

- [1] Екимов А.И., Гарбузов Д.З., Сафаров В.И. // Письма в ЖЭТФ. 1971. Т.13. С. 36.
- [2] Иванов-Омский В.И., Георгиев Е.И., Погорлецкий В.М., Смирнов В.А., Пиотровский Т. // XII Всес. конф. по физике полупроводников, тезисы докладов. Киев, 1990, часть 2. С. 40-41.
- [3] Баженов Н.Л., Гельмонт Б.Л., Иванов-Омский В.И., Ижнин А.И., Смирнов В.А. // ФТП. 1990. Т. 24. В. 1. С. 93-97.
- [4] Bichard R., Guldner Y. and Lavalard P. Phys. of narrow gap semicond. proc. of the III international conf. Warszawa, 1978. Р. 245-250.
- [5] Пикус Г.Е., Титков А.Н. В кн.: Оптическая ориентация / Под редакцией Б.П. Захарчена, Ф. Майер. Наука, 1989. С. 63-108.
- [6] Bastard G., Rigaux C. and Guldner Y. // Phys. Rev. B. 1981. V. 24. N 4. P. 1961.